

## ارزیابی نتایج کمانشی پوسته‌های استوانه‌ای تقویت‌شده بر اساس تحلیل‌های المان محدود و مقایسه آنها با مقادیر حاصل از رابطه تحلیلی

امیررضا شاهانی<sup>1\*</sup>، روح‌الله محمدجانی<sup>2</sup>

1- استاد، مهندسی مکانیک، دانشگاه صنعتی خواجه نصیرالدین طوسی، تهران

2- کارشناسی ارشد، مهندسی مکانیک، دانشگاه صنعتی خواجه نصیرالدین طوسی، تهران

\*تهران، صندوق پستی 19395-1999

shahani@kntu.ac.ir

### چکیده

اطلاع از رفتار ناپایداری پوسته‌های تقویت‌شده و تعیین بار کمانشی متناظر تحت شرایط اعمال نیروی فشارنده محوری، بنابر کاربردهای وسیع این سازه‌ها در حوزه‌های مختلف مهندسی، مستلزم است که تاکنون مورد توجه بسیاری از محققین بوده و مطالعات گسترده‌ای بر روی آن صورت پذیرفته است. با توجه به عدم امکان دست‌یابی به پاسخ‌های تحلیلی به واسطه پیچیدگی‌های موجود در معادلات حاکم، شرایط‌مرزی و روند حل متناظر، بکارگیری کدهای نرم‌افزاری المان محدود به عنوان تکنیک اصلی تعیین بار کمانش پوسته‌های استوانه‌ای تقویت‌شده جهت مدل‌سازی مستلزم امری اختیارنپذیر است. بر این اساس در مقاله حاضر به مطالعه آثار تقویت‌کنندگی ریب و استرینگر پرداخته شده و میزان اختلاف نتایج کمانشی تحلیل‌های المان محدود با مقادیر بدست آمده از یکی از جامع‌ترین روابط تئوری موردن بررسی و مقایسه گرفته است. همچنین تلاشی جهت دستیابی به تناظر میان مقادیر بارهای ناپایداری حاصل از کاربرد روش المان محدود با میزان تقویت سازه صورت پذیرفته که طراح را قادر خواهد ساخت تا با در اختیار داشتن تعدادی محدود از مقادیر کمانشی سازه در تناظر با چند حالت تقویتی مشخص، بار کمانش مربوط به سایر حالات را بدون انجام تحلیل‌های مجرأ، تنها بر اساس روابط میان میزان تقویت و بار کمانش سازه، با دقیق قابل قبول دونوں یا برونویابی نماید.

### اطلاعات مقاله

مقاله پژوهشی کامل  
دریافت: 17 اسد 1393

پذیرش: 15 فروردین 1394  
ارائه در سایت: 29 فروردین 1394

کلید واژگان:

پوسته‌های تقویت‌شده

تحلیل المان محدود

رابطه تحلیلی

تعیین تناظر بار و تقویت سازه

## Evaluation of FEM instability loads of stiffened cylindrical shells and their comparison with analytical results

Amir Reza Shahani\*, Rouhollah Mohammadjani

Department of Mechanical Engineering, K.N.T. University of Technology, Tehran, Iran .

\*P.O.B. 19395-1999 Tehran, Iran, shahani@kntu.ac.ir

### ARTICLE INFORMATION

Original Research Paper

Received 08 March 2015

Accepted 04 April 2015

Available Online 18 April 2015

#### Keywords:

Buckling Load

Stiffened Cylindrical Shell

FE Analysis

Analytical Equation

Load vs. Reinforcement Correspondence

### ABSTRACT

The instability behavior of stiffened cylindrical shells and determination of the corresponding buckling loads under axial compression, according to the extended range of structural applications of them in various fields of engineering, has received a great deal of attention from researchers and an extensive number of studies have been performed on it so far. Because of a lack of the general closed form responses due to complexity of the governing equations and analyses process, using the FE software codes as the main technique of the stiffened shell's buckling load determination is inevitable. Accordingly, the present paper has studied the reinforcement effects of ring and stringer, and also compared the buckling loads which are evaluated by analysis of the FE numerical modeling in ABAQUS software with instability results obtained from a general analytical equation derived by other references via applying the simplifying assumptions to the governing equations. Furthermore, an attempt has been made to extract the finite element instability load vs. structure reinforcement correspondence. This enables the designers to accurately determine the instability load of structure for other values of structure's stiffening volume without performing additional FE analyses, which are much more expensive in terms of computer time.

همچنین تأثیرات تقویت‌کننده‌ها بر آن، برای طراحی بهینه چنین سازه‌هایی

جهت اطمینان از عملکرد و استحکام، بسیار ضروری می‌نماید. به واسطه مزایایی چون بالا بودن میزان تمامیت سازه‌ای، دارا بودن نسبت استحکام به وزن بالا و نیز انحنای فضایی، سازه‌های پوسته‌ای نیروهای خارجی را به صورت موثری تحمل کرده و در مقایسه با سایر فرم‌های سازه‌ای به مراتب

1- مقدمه  
پوسته‌های استوانه‌ای تقویت‌شده یکی از المان‌های پرکاربرد در سازه‌های مهندسی هستند که بطور گسترده‌ای در مجموعه وسیعی از سازه‌های فضایی و زیرآبی نظیر موشک‌ها، راکت‌های پیشران شاتل، زیردریایی‌ها و ... کاربرد دارند. بر این اساس، اطلاع از رفتار استحکامی و کمانشی پوسته تقویت‌شده و

Please cite this article using:

A. R. Shahani, R. Mohammadjani, Evaluation of FEM instability loads of stiffened cylindrical shells and their comparison with analytical results, *Modares Mechanical Engineering*, Vol. 15, No. 6, pp. 58-68, 2015 (In Persian)

برای ارجاع به این مقاله از عبارت ذیل استفاده نمایید:

with analytical results, *Modares Mechanical*

رفتار پس‌کمانش بررسی شده و الگوی کمانشی متناظر با آن، نحوه معرفی تأثیرات نوافع به تئوری و روابط طراحی پوسته‌های استوانه‌ای واقعی (دارای نوافع اولیه) توسط مراجعی همچون [۸,۹] ارائه گردیده است.

ازودن ریب و استرینگر (جهت تقویت پوسته) نه تنها موجب افزایش مقاومت در برابر کمانش، بلکه سبب کاهش حساسیت به نوافع اولیه و در نتیجه توافق بسیار خوب تئوری و داده‌های تست نیز می‌گردد [10]. به عبارت دیگر پوسته‌های تقویت شده برخلاف پوسته‌های تقویت نشده، به مراتب حساسیت کمتری نسبت به وجود نوافع اولیه دارند و بر این اساس برای محدوده گسترده‌های از استوانه‌های تقویت شده، بار کمانش بدست آمده از مطالعات مبنی بر تئوری تغییر شکل کوچک خطی (تئوری کلاسیک خطی)، تقریب بسیار خوبی از بار واقعی فروربیزش را بدست می‌دهد [9,11]. با این حال، مرجع [12] به منظور افزایش دقت پیش‌بینی‌های کمانشی برای کاربردهای عملی و به منظور اینمن‌سازی طراحی، منحنی‌هایی تحری را برای دست‌یابی به ضرایب کاهنده ارائه نموده است که می‌توانند جهت کاهش مقادیر پیش‌بینی‌های استحکام تئوریک کلاسیک استخراج شده در مرجع [7] مورد استفاده قرار گیرند.

مک المان و همکاران [13] با استخراج معادلات تعادل و شرایط مرزی غیرخطی برای پوسته‌های استوانه‌ای تقویت شده، به مطالعه آثار استاتیک و دینامیک تقویت خارج از مرکز بر صفحات و پوسته‌های استوانه‌ای پرداخته است. استخراج معادلات توسط تعریف روابط کرنش- جابجایی غیرخطی نوع دائل<sup>1</sup> برای پوسته صورت گرفته است. با تقویت کننده‌ها به عنوان المان‌های تیر برخورد شده و روابط کرنش- جابجایی آنها نیز به صورت غیرخطی در نظر گرفته شده است. معادلات خطی که بر ارتعاشات کوچک یک استوانه تقویت شده به صورت خارج از مرکز حاکم‌اند، عنوان حالت خاصی از معادلات غیرخطی استخراج گردیده و پاسخ تحلیلی آن‌ها برای حالت پیش‌نشش شبه‌غشایی<sup>2</sup> و شرایط مرزی تکیه‌گاه ساده ارائه شده است.

بر مبنای مطالعه صورت گرفته توسط بلاک و همکاران [14] به کمک اصول انرژی و با کاربرد روش انشعاب<sup>3</sup>، رابطه بار ناپایداری کلی یک پوسته ارتوتروپیک تقویت شده توسط ریب و استرینگر تحت نیروی فشاری محوری ارائه گردیده است. این تحلیل بر مبنای روابط کرنش- جابجایی از نوع دائل، با استفاده از تئوری ارتوتروپیک و کاربرد اصل مینیمم انرژی پتانسیل صورت پذیرفته است.

پترسون [15] بر مبنای تست‌های صورت گرفته، با توجه به پراکندگی داده‌های تست که بطور عمده به دلیل نوافع هندسی اندازه‌گیری نشده و تنش‌های پسماند پدیده می‌آیند، روشنی را جهت دست‌یابی به بار فروربیزش برای یک طراحی محافظه‌کارانه ارائه نموده است. بر این اساس با در نظر گرفتن اختلاف بین مقادیر حاصل از تست‌های کمانش و تئوری و به منظور اصلاح محاسبات کمانشی، می‌بایست در معادله پایداری مرجع [14]، عبارات سفتی و کوپلینگ در ضرایب اصلاح مناسبی ضرب گردد. کاربرد ضرایب بادشده در واقع با این دیدگاه صورت می‌پذیرد که نوافع تأثیر کاهنده‌ای بر سفتی داشته و لذا موجب حصول بارهای کمانش پایین‌تر می‌گردد. بنابراین استفاده از ضرایب کوچک‌تر از ۱ در محاسبات فروربیزش ناشی از ناپایداری کلی موجب اصلاح مقادیر تئوری به داده‌های تست می‌گردد. این مرجع همچنین یک منحنی که سفتی کاهش‌یافته<sup>4</sup> پوسته کمانش کرده را برای

مقاومت‌می‌باشد.

اگر چه طراحی سازه‌ها عمدتاً بر اساس ملاحظات استحکام (توانایی سازه در پایدار ماندن تحت بار اعمالی) و سفتی (مقاآمت به تغییر شکل الاستیک) صورت می‌پذیرد، لکن در خصوص پوسته‌های استوانه‌ای، بنابر آنکه عمدتاً سازه‌هایی بسیار نازک‌اند (نسبت ضخامت به شعاع کمتر از ۱ به ۵۰)، لذا علیرغم توجه به ملاحظات استحکامی، سازه ممکن است خیلی قبل از آنکه معیارهای استحکام و سفتی نقض شوند، ناپایدار شده و بر این اساس پایداری مقاآمت در برابر کمانش) معیار اصلی طراحی آنها محسوب می‌گردد [1].

برای مقابله با کمانش در پوسته‌ها، بهره‌گیری از دو رویکرد افزایش ضخامت و بکارگیری تقویت کننده‌ها امکان‌پذیر است. با این حال به موجب کاربرد گسترده این سازه‌ها در صنایع هوافضای مستلزم کاستن از وزن نهایی در کنار توجه به سایر ملاحظات طراحی (افزایش سرعت، شتاب و ظرفیت تحمل بار توسط سازه، کاهش مصرف سوخت، بهبود مانور پذیری و کنترل) است، لذا افزودن بر ضخامت پوسته و متعاقب آن افزایش قابل توجه وزن سازه، امری نامطلوب بوده و استفاده از تقویت کننده‌ها جهت ارتقای ظرفیت تحمل بر کمانش امری متدالو به شمار می‌رود. تقویت پوسته‌ها می‌تواند به صورت طولی (توسط استرینگر)، محیطی (توسط ریب)، یا به کمک شبکه‌ای متعدد متشکل از مجموعه ریب‌ها و استرینگرها صورت پذیرد [2].

کمانش پوسته‌های تقویت شده تحت شرایط اعمال نیروی فشارنده محوری، مسئله‌ای است که توجه محققان متعددی را به خود معطوف داشته است. در ادامه به بیان و بررسی برخی از اساسی‌ترین مطالعات صورت گرفته برداخته می‌شود.

حوزه‌های کاربرد و اهمیت مطالعه رفتار کمانشی پوسته‌های تقویت شده، تفاوت‌های کلی کمانش آنها با ناپایداری یک پوسته نازک تقویت شده تحت نیروی فشارنده محوری، توسط ردی [3]، چن [4] و هدگپت [5] مطرح گردیده‌اند. از جمله این تفاوت‌ها می‌توان به حساسیت بسیار کمتر پوسته‌های تقویت شده به نوافع اولیه و متعاقب آن مقبولیت بار کمانش بدست آمده از تئوری کلاسیک خطی به عنوان تقریب بسیار خوبی از بار واقعی فروربیزش، اشاره نمود.

الن و همکارش [6] رابطه تنش بحرانی کمانش پوسته‌های استوانه‌ای تقویت شده توسط استرینگر را در مود متقابل بر مبنای روابط سینماتیک حاصل از فرضیات سندر و با کاربرد تئوری ارتوتروپیک و صرف‌نظر از سفتی تقویت شده تئوری ارتوتروپیک و صرف‌نظر از سفتی پیچشی استرینگرها ارائه نموده‌اند. رابطه پیش‌بینی بار بحرانی کمانش در مود شطرنجی برای پوسته‌ای با شرایط تقویتی فوق (استرینگر) و با صرف‌نظر از سفتی خمی ورق و نیز رابطه متناظر با حالتی که پوسته علاوه بر استرینگر توسط ریب‌های نزدیک به یکدیگر هم تقویت شده باشد، در مطالعه هدگپت و هال [5] استخراج گردیده است. همچنین رابطه محاسبه بار ناپایداری کلی یک پوسته تقویت شده توسط ریب و استرینگر تحت نیروی فشاری محوری بر مبنای مطالعه صورت گرفته توسط اسمیت و همکاران [7] ارائه گردیده است.

بر مبنای مطالعات صورت گرفته در راستای مقایسه مقادیر بارهای کمانش بدست آمده بر مبنای تئوری تغییر شکل‌های کوچک و نتایج حاصل از تست‌های انجام‌شده روی استوانه‌های تحت نیروی فشاری محوری، مشاهده گردیده است که استوانه‌های واقعی در بارهایی که بطور قابل ملاحظه‌ای از مقادیر پیش‌بینی شده توسط تئوری پایداری خطی کوچک‌ترند، کمانش می‌نمایند. این مشاهده که بروز آن بطور عمده ناشی از وجود نوافع اولیه (انحرافات کوچک از فرم مدور ایده آل) در پوسته است، در مبحثی با عنوان

1- Donnell

2- Membrane-Like Pre-Stress State

3- Bifurcation

4- Reduced Stiffness

متلب<sup>2</sup> که یکی از جامع ترین روابط کمانشی موجود را اجرا می نماید، صورت پذیرفته و مدل سازی المان محدود نیز در نرم افزار آباکوس<sup>3</sup> انجام گردیده است. در ادامه نتایج حاصل از دو رویکرد پادشاهی به منظور صحه گذاری و نیز تعیین گستره صحت بکار گیری روابط تئوری بررسی و با یکدیگر مقایسه گردیده اند. همچنین مطالعه ای بر روی نتایج تحلیل های کمانشی المان محدود سازه های تقویت شده به منظور دست یابی به ارتباط میان مشخصات تقویتی سازه و بار کمانشی متناظر با آن صورت پذیرفته که طراح را قادر خواهد ساخت تا با در اختیار داشتن تعدادی محدود از مقادیر کمانشی سازه در تناظر با چند حالت تقویتی مشخص، بار کمانش مریبوط به سایر حالات را بدون انجام تحلیل های مجزا و متعاقب آن بدون صرف زمان گزاف، تنها بر اساس روابط فی مابین میزان تقویت و بار کمانش سازه، با دقت قابل قبولی درون یابی یا برونو یابی نماید.

## ۲- مطالعه کمانش پوسته های تقویت شده

چنانچه پیش تر بیان گردید، مطالعه کمانش پوسته های تقویت شده می تواند به دو روش تحلیلی و عددی صورت پذیرد؛ اگر چه بنابر پیچیدگی زیاد معادلات حاکم، تعداد زیاد پارامترهای تأثیر گذار و متعاقب آن دشواری / یا عدم امکان حصول پاسخ های تحلیلی، امروزه استفاده از روش المان محدود به عنوان تکنیک اصلی تحلیل سازه های جدار نازک شناخته می شود [18].

مجموعه مودهای ممکن برای بروز ناپایداری در پوسته های استوانه ای تقویت شده با ریب و استرینگ عبارت اند از: کمانش پنل<sup>4</sup>، کمانش کلی<sup>5</sup> و کمانش موضعی پوسته در فواصل بین تقویت کننده ها [2]. بنابر آنکه وقوع کمانش موضعی در فواصل بین تقویت کننده ها یک مود فوربریز فاعله آمیز به حساب نمی آید، برای اهداف طراحی فرض می شود که فوربریزش مصیبت بار در سازه، در بار پایین تر بین دو مقدار بار ناپایداری کلی و ناپایداری پنل رخ خواهد داد [19]. لازم به ذکر است که کمانش پنل مودی از ناپایداری است که در آن استرینگ ها بدون آنکه ریبها متحمل جابجایی شعاعی شوند در یک یا چند نیم موج طولی کمانش می نمایند. اگر چه این مود می تواند بیش از یک نیم موج در فاصله بین ریبها را نیز شامل شود، لکن در سازه های کاربردی بطور متناوب با آن مواجه نمی شویم. ناپایداری کلی نیز مود کمانشی است که در آن ریبها به صورت شعاعی تغییر شکل می دهنند و دیواره ای استوانه و ریبها به صورت یک دیواره مرکب کمانش می نماید.

## ۲-۱- رویکرد تئوری

بطور پایه دو روش (تئوری های تقویت کننده سربار شده<sup>6</sup> و تقویت کننده سربار نشده) برای تحلیل کمانش پوسته های تقویت شده بر مبنای میزان تقویت صورت گرفته (فواصل بین استرینگ ها) وجود دارد:

چنانچه المان های تقویت کننده نزدیک به هم باشند، آنگاه سازه پوسته تقویت شده را می توان به عنوان یک پوسته ارتوتروپیک هندسی (همگن) در نظر گرفت [8]. این تئوری بر این فرض استوار است که بنابر کوچکی فواصل بین تقویت کننده ها، صلبیت تقویت کننده ها بر روی سطح میانی سربار شده و پوسته تقویت شده با یک پوسته ارتوتروپیک تقویت نشده معادل سازی شده و جایگزین می گردد. البته باید تأثیر و میزان خروج از مرکز تقویت کننده ها نیز در معادلات لحاظ و آثار کوپلینگ متناظر به سبب عدم تقارن تقویت کننده ها

2- MATLAB R2010a

3- ABAQUS 6.10-1

4- Panel/Bay Instability

5- General Instability

6- Smeared

محاسبه بارهای کمانش کلی پوسته هایی که قبل از وقوع کمانش کلی، کمانش پنل پوسته را تجربه می کنند، ارائه نموده است.

صادقی فر و همکاران وی [16] مطالعه ای را جهت بهینه سازی وزن و بار محوری کمانش پوسته های استوانه ای تقویت شده با ریب و استرینگ توسط الگوریتم وراثت صورت داده اند. در این مطالعه شرایط تکیه گاهی ساده و چهار سطح مقطع مختلف مستطیلی، C شکل، ۱ شکل و کلاه شکل برای تقویت کننده ها در نظر گرفته شده است. با تقویت کننده ها به عنوان اجزایی مجزا برخورد شده و اتصال آنها به پوسته به صورت صلب مدل گردیده است. مؤلفه های میدان جابجایی، از تئوری کلاسیک پوسته های نازک و بر مبنای توابع مثلثاتی قرار داده شده اند. با یافتن انرژی کرنشی پوسته، ریب ها و استرینگ ها و همچنین کار انجام شده توسط بار فشاری اعمالی طی کمانش، نهایتاً انرژی پتانسیل کل سیستم محاسبه شده و معادله پایداری آن طبق روش ریلی- ریتز به فرم مسئله مقدار ویژه استخراج گردیده است که پاسخ غیر بدیهی آن بار بحرانی کمانش و مودهای متناظر را بدست خواهد داد.

نگفی زاده و همکاران وی [17] کمانش الاستیک پوسته های تقویت شده توسط ریب و استرینگ که همگی از مواد هدفمند<sup>1</sup> ساخته شده اند را تحت بار محوری فشاری مورد بررسی قرار داده اند. روابط کرنش - جابجایی از نوع دائل و پاسخ های تقریبی جابجایی های ناشی از کمانش، به فرم سری های مثلثاتی در نظر گرفته شده اند. استخراج روابط پایه، معادلات تعادل (میانرژی پتانسیل مینیمم) و پایداری (وند تغییراتی) نیز بر مبنای فرضیات سندر صورت پذیرفته است. در نهایت نتایج تحلیلی حاصل با پاسخ های بدست آمده از روش المان محدود مقایسه گردیده اند.

تئوری پایداری خطی جهت پیش بینی کامل رفتار کمانش و پس کمانش پوسته های نازک کفايت نمی کند. معادلات پایداری پوسته می توانند بطور موقوفیت آمیزی بر مبنای معادلات تعادل غیرخطی استخراج گردد. تئوری غیرخطی همچنین می تواند به منظور در نظر گرفتن تأثیرات نفایصال اولیه و سایر آثار، در تحلیل کمانش پوسته ها مورد استفاده قرار گیرد. مشخص گردیده است که فرمول بندی دقیق مسائل کمانش در چهار چوب تئوری غیرخطی و دست یابی به پاسخ دقیق معادلات مربوطه منجر به پیدا شدن توافق تنگاتگی بین نتایج تئوری و عددی در محاسبه بارهای بحرانی می گردد. اگر چه در حال حاضر، این رویه به سبب بروز پیچیدگی هایی متناظر با توصیف ریاضی حالت تغییر شکل یافته و تنوع وضعیت های کمانش کرده پوسته منجر به بروز دشواری های به شدت بازدارنده گشته و تاکنون انتظاراتی که از تئوری غیرخطی هندسی می رود، برآورده نشده است.

بر اساس جمع بندی فوق و با ارجاع به بخش وسیعی از مطالعات صورت گرفته می توان دریافت که رویکرد جایگزین متدالوی به منظور تحلیل کمانشی پوسته های تقویت شده بکار گیری کدهای نرم افزاری المان محدود است. مدل سازی مسئله در نرم افزارهایی از این دست، اگر چه با غلبه بر بسیاری از دشواری های تحلیلی، حصول بار کمانش سازه های تقویت شده را تا حد زیادی تسهیل نموده است، لکن با توجه به ضرورت درخواست تعداد بسیار زیادی از مقادیر ویژه و بررسی تک تک مودهای حاصل به منظور تعیین مود کمانشی مخرب، مستلزم صرف زمان قابل ملاحظه ای جهت اجرا خواهد بود.

آنچه در مقاله حاضر مورد ارزیابی قرار گرفته است، مطالعه ای بر روی آثار کمانشی ناشی از افروden تقویت کننده ها به پوسته با بکار گیری دو رویکرد تحلیلی و عددی است. رویکرد تئوری توسط نگارش برنامه ای در نرم افزار

1- Functionally Graded Material

$$\begin{aligned}
 & +2n^2(1-\nu^2)\left(\frac{\bar{Z}_S}{R}+\frac{\bar{Z}_r}{R}\right)+2n^4(1+\nu)^2\left(\frac{\bar{Z}_r}{R}\right)\left(\frac{\bar{Z}_S}{R}\right) \\
 & +n^4[1-\nu^2+2\beta^2(1+\nu)]\left(\frac{\bar{Z}_r}{R}\right)^2 \\
 \Lambda & = (1-\nu^2)[\bar{S}+\bar{R}\beta^4+2\beta^2\bar{R}\bar{S}(1+\nu)] \\
 & +(1+\beta^2)^2+2\beta^2(1+\nu)(\bar{R}+\bar{S}) \\
 Z^2 & = \frac{L^4(1-\nu^2)}{R^2t^2}, \quad \beta = \frac{nL}{m\pi R}, \quad \alpha = \frac{m\pi R}{L}, \\
 \bar{S} & = \frac{E_s A_s}{Etd}, \quad \bar{R} = \frac{E_r A_r}{Et l} \quad (2)
 \end{aligned}$$

در رابطه (2)، خروج از مرکز<sup>1</sup> تقویت کننده ها توسط عبارت  $\bar{z}$  مشخص می گردد که فاصله مرکز سطح آنها از سطح میانی پوسته بوده و برای حالت تقویت کننده های خارجی، مثبت در نظر گرفته می شود.  $R$ ,  $t$  و  $d$  به ترتیب شعاع سطح میانی پوسته، ضخامت آن و فاصله بین استرینگرهای روی محیط استوانه،  $L$  طول کل سازه و  $A$  فاصله میان ریب های آن است. متعدد  $n$  نیموج های طولی و  $m$  تعداد موج های محیطی است.  $\bar{N}_x$  به صورت تنش قائم یکنواخت اعمال شده و در حالت فشاری مثبت است.  $G$  و  $E$  به ترتیب مدول برشی، مدول یانگ و نسبت پواسون،  $D$  سفتی خمشی پوسته،  $A$  سطح مقطع عرضی تقویت کننده ها،  $I$  ممان اینرسی تقویت کننده ها حول محور عبوری از مرکز سطح (در صفحه عمود بر محور استوانه)،  $J$  ثابت پیچشی<sup>2</sup> و  $GJ$  سفتی پیچشی آنها بوده و زیرنویس های  $s$  و  $r$  به ترتیب معرف پارامترهای مربوط به استرینگرهای ریب ها می باشند.

جهت محاسبه بار کمانش می باشد بنابر رابطه (1)، مقدار بار محوری اعمالی برای مقادیر صحیح  $m$  و  $n$  به صورت عددی مینیمم گردد. به منظور تحلیل ناپایداری کلی، طول کل استوانه و در خصوص حالت ناپایداری پنل، از آنجا که تمرکز بر رفتار بخشی از استوانه است که بین ریب ها واقع شده است، کافیست با در نظر گرفتن استوانه تقویت شده میان ریب ها به صورت یک استوانه تقویت شده توسعه استرینگر و دارای تکیه گاه ساده در لبه ها ( محل ریب ها)، مقادیر  $\bar{R}$ ,  $J_r$  و  $\bar{N}_x$  در رابطه (2) برابر با 0 و طول کل برابر با فاصله میان ریب ها قرار داده شوند.

## 2-1-2- گستره صحت کاربرد تئوری ارتوتروپیک

همچنان که بیان گردید، جهت استخراج پاسخ کمانش پوسته های تقویت شده از معادلات تعادل و شرایط مرزی متناظر، فرضیات ساده کننده ای در تئوری ارتوتروپیک بکار گرفته شده اند که مهم ترین آنها فرض کوچک بودن فواصل

نسبت به سطح میانی پوسته، در معادلات بنیانی داخل گردنده [20]. در شرایطی که فاصله بین تقویت کننده ها زیاد (تعداد اندک) باشد، آنگاه سربار کردن تقویت کننده ها نتایج مشکوکی بدست می دهد. در این وضعیت مطالعه پوسته های تقویت شده با تئوری تقویت کننده سربار نشده (مجزاً) مورد توجه است و سازه پوسته تقویت شده می باشد به صورت ترکیبی از المان های پوسته و تقویت کننده در نظر گرفته شود که هر یک معادلات حاکم خود را دارد و توسط روابط پیوستگی به دیگر اجزا کوپل می گردد. در این روش بجای سربار کردن تقویت کننده ها، آنها را به عنوان ناپیوستگی های خطی که توسط تابع دلتای دیراک ارائه می شوند، در نظر می گیرند. این نحوه مدل سازی، زمانی مقبول است که عرض تقویت کننده ها با فواصل بین آنها قابل مقایسه نباشد [19]. شایان ذکر است که تکنیک اخیر به جهت آنکه اجزا را برخلاف تئوری ارتوتروپیک، به صورت مجرد در نظر می گیرد، نیازمند کاربرد قیودی همچون عدم جدایش اتصال بین اعضای یادشده (حرکت نسبی) و ... است.

با توجه به آنکه اغلب مطالعات بر روی پوسته های تقویت شده از تئوری ارتوتروپیک بهره می جویند، لذا در ادامه یکی از شناخته شده ترین و جامع ترین روابط مستخرج از کاربرد تئوری یادشده ارائه گردیده و نتایج کمانشی تئوری در مقاله حاضر بر مبنای محاسبات آن صورت خواهد پذیرفت.

### 2-1-1- روابط کمانشی تئوری ارتوتروپیک

بلک و همکاران وی [14] رابطه بار ناپایداری کلی یک پوسته ارتوتروپیک تقویت شده توسط ریب (تقویت کننده های محیطی در امتداد  $y$ ) و استرینگر (تقویت کننده های طولی در امتداد  $x$ ) را تحت نیروی فشاری محوری ارائه نموده اند. روند طی شده جهت دست یابی به بار کمانش، روش انتساب است که به کمک اصول انرژی و بر مبنای تئوری تغییر شکل های کوچک صورت پذیرفته است. این تحلیل بر مبنای روابط کرنش - جابجایی خطی نوع دائل، با استفاده از تئوری ارتوتروپیک و کاربرد اصل مینیمم انرژی پتانسیل جهت استخراج معادلات تعادل و شرایط مرزی متناظر انجام گرفته است. استوانه مطابق شکل 1 توسط ریب ها و یا استرینگرهای یکنواخت با فواصل یکسان از هم تقویت گردیده است.

با در نظر گرفتن شرایط مرزی هر دو انتهای استوانه به صورت تکیه گاه ساده و اعمال فرضیات ساده کننده، نهایتاً با 0 قرار دادن دترمینان ماتریس ضرایب ثوابت میدانین جابجایی، پاسخ غیر بدیهی معادلات که در واقع معادله پایداری یک استوانه ایزوتروپیک تقویت شده با استرینگر و ریب تحت بار گذاری فشار محوری است، مطابق رابطه (1) حاصل می گردد.

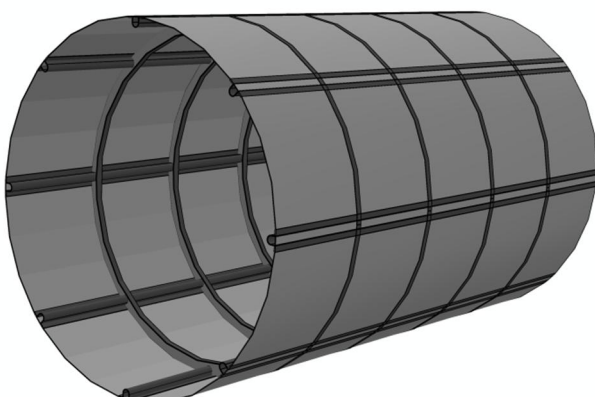
$$\begin{aligned}
 \bar{N}_x \frac{L^2}{\pi^2 D} &= m^2(1+\beta^2)^2 + m^2 \frac{E_s I_s}{Dd} + m^2 \beta^4 \frac{E_r I_r}{Dl} \\
 & + \frac{12Z^2}{m^2 \pi^4} \left( \frac{1 + \bar{S} \Lambda_s + \bar{R} \Lambda_r + \bar{R} \bar{S} \Lambda_{rs}}{\Lambda} \right) \\
 & + \left( \frac{G_s J_s}{Dd} + \frac{G_r J_r}{Dl} \right) m^2 \beta^2 \quad (1)
 \end{aligned}$$

که در آن:

$$\Lambda_s = 1 + 2\alpha^2 \left( \frac{\bar{Z}_s}{R} \right) (\beta^2 - \nu) + \alpha^4 \left( \frac{\bar{Z}_s}{R} \right)^2 (1 + \beta^2)^2$$

$$\Lambda_r = 1 + 2n^2 \left( \frac{\bar{Z}_r}{R} \right) (1 - \beta^2 \nu) + n^4 \left( \frac{\bar{Z}_r}{R} \right)^2 (1 + \beta^2)^2$$

$$\Lambda_{rs} = n^2 \alpha^2 \left( \frac{\bar{Z}_s}{R} \right)^2 [\beta^2(1 - \nu^2) + 2(1 + \nu)] + 1 - \nu^2$$



شکل 1 شماتیک پوسته استوانه ای تقویت شده توسط ریب و استرینگر [14]

1- Eccentricity (One-Sided)  
2- Torsional Constant

## 2- رویکرد المان محدود

مطلوب ارائه شده در خصوص بکارگیری فرضیات ساده کننده جهت استخراج روابط کمانشی تئوری، بیانگر بخشی از محدودیت های کاربرد این روابط به منظور مطالعه مسئله نایابیاری پوسته های تقویت شده است که خود دلیل روشن بر توسعه استفاده از کدهای المان محدود جهت تحلیل مسائل پوسته خواهد بود. بخش عمده برسی و مطالعه پوسته ها به دلیل پیچیدگی زیاد معادلات حاکم، تعداد زیاد پارامترهای تأثیرگذار و متعاقب آن دشواری و / یا عدم امکان حصول پاسخ های تحلیلی با استفاده از روش المان محدود که امروزه قادر تمندترین ابزار و تکنیک اصلی تحلیل سازه های جدار نازک است [18]، صورت می پذیرد. تاکنون مطالعات زیادی به کمک این رویکرد، بر روی پوسته ها انجام شده است که از جمله این موارد می توان به کاربرد نرم افزار المان محدود استگز<sup>2</sup> جهت تحلیل سازه های پوسته های تقویت شده دارای گشودگی، توسط ناسا اشاره نمود [24]. شرکت ایرباس نیز جهت مطالعه کمانش پوسته های تقویت شده توسط ریب و استرینگر، مجدداً با بکارگیری تحلیل المان محدود، کدی را به نام سیمولپک<sup>3</sup> به زبان پایتون و بر مبنای اصول مدل سازی پارامتریک تهیه نموده و بکار می برد [25]. در این کد تمامی اجزای سازه (پوسته، استرینگرهای ریب ها) توسط المان های پوسته<sup>4</sup> ایدآل سازی گردیده اند و بعلاوه کاربرد المان های S4R که در مقایسه با المان های S4 منجر به حصول نتایج نزدیک تری به مقادیر بدست آمده از تست ها می شوند، توصیه شده است.

شریعتی و همکارن وی [26] در سال 2010 تأثیر طول، زاویه قطاع و نیز شرایط متریزی مختلف را بر روی بار کمانش و پس کمانش پنل های استوانه ای CK20 توسط دو رویکرد آزمایشگاهی و عددی (توسط نرم افزار آباکوس) مورد مطالعه قرار دادند.

رحمی، زندی و رسولی [27] در سال 2011، اثر تقویت پوسته توسط شبکه مثلثی مارپیچ همراه با ریب های محیطی را بر مقدار بار کمانش الاستیک تحت نیروی فشار نده محوری، مورد مطالعه قرار دادند. مدل سازی در نرم افزار المان محدود انسیس<sup>5</sup> برای مقاطع متفاوتی از ریب صورت گرفته و تأثیر هر یک بر میزان بار بحرانی کمانش پوسته، بررسی گردیده است.

از دیگر مطالعات انجام شده در این حوزه می توان به مدل سازی و تحلیل کمانشی المان محدود پوسته های کامپوزیتی تقویت شده به وسیله تقویت کننده های متعدد مورب (یا زاویه 45 درجه نسبت به محور استوانه) اشاره نمود که توسط کیدین [28] و با استفاده از نرم افزار انسیس صورت پذیرفته است.

دگنهارت و همکارن وی [29] نیز به تحلیل کمانشی المان محدود یک پنل تقویت شده پرداخته اند و برای این منظور با طی روندی مشابه مرجع [25]، سازه مورد مطالعه خود را تماماً توسط المان های پوسته و آن هم از نوع S4R مدل نموده است. لازم به ذکر است که هر دو مرجع [25] و [29]، به منظور دستیابی به بار کمانش و استخراج مودهای کمانشی متناظر، از تحلیل خطی مقدار ویژه بهره جسته اند.

شایان ذکر است که علاوه بر مراجع نامبرده، بررسی سایر مقالات و بطور مشخص مطالعاتی که اخیراً صورت پذیرفته اند، به وضوح بیانگر گستردگی کاربرد کدهای المان محدود در تحلیل کمانش پوسته های تقویت شده است.

بین تقویت کننده ها جهت میانگین گیری از خواص الاستیک و به عبارت دیگر سربار نمودن آن ها روی پوسته است [14]. از دیگر فرضیات بکار رفته در تئوری اخیر می توان به این موضوعات اشاره نمود که با تقویت کننده ها به عنوان المان های تیز برخورد شده، تأثیرات سفتی پیچشی آن ها در محاسبات وارد گردیده و همچنین سفتی های برشی عرضی<sup>1</sup> پوسته به صورت بی نهایت بزرگ در نظر گرفته شده اند. به علاوه از تأثیر تغییر شکل های قبل از کمانش صرف نظر گردیده و تنها تغییر شکل های کوچک مدنظر قرار گرفته اند. لازم به ذکر است که فرض اخیر، تئوری را به استوانه های تقویت شده به میزان متوسط یا سنگین محدود می کند. برای استوانه های تقویت شده یا تقویت شده به میزان سبک، بارهای نایابیاری کلی کمتر از بار کمانش کلاسیک اند و بر این اساس تئوری تقویت کننده سربار، دیگر جهت توصیف حالت تنش در استوانه طی کمانش مناسب نخواهد بود. میزان تقویت بر اساس درصدی از وزن کل استوانه تقویت شده که به تقویت کننده ها اختصاص دارد، تعیین می گردد. بنابر مرجع [21] اگر نسبت وزن تقویت کننده به پوسته در حدود 0/25 باشد، آنگاه استوانه به میزان متوسط تقویت شده است که در ناحیه انتقال استحکام بین استوانه های تقویت شده و استوانه های تقویت شده به میزان سنگین قرار می گیرد. همچنین مرجع [15] بیان می کند که برای یک تقویت نسبتاً سنگین وزن تقویت کننده ها در حدود 40% تا 50% وزن کل است.

با توجه به ساده سازی های صورت گرفته بر اساس فرضیات عنوان شده ضروری است که گستره کاربرد تئوری تقویت کننده سربار شده جهت اطمینان از صحت محاسبات کمانشی توسط رابطه (1) مورد بررسی قرار گیرد.

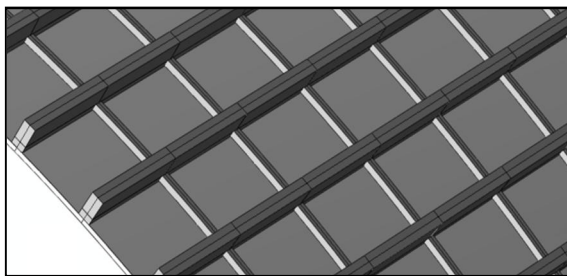
به بیان آن [6]، جهت سربار نمودن ریب ها روی پوسته و کاربرد خواص معادل آنها مطابق تئوری ارتوتروپیک، می بایست شرط  $L > 3t$  برقرار باشد که بر اساس آن تعداد ریب ها باید بزرگتر یا مساوی 3 انتخاب گردد. بر این اساس، انتقال از مود نایابیاری پنل به نایابیاری کلی زمانی رخ خواهد داد که استوانه با بیش از 3 ریب تقویت گردد. این موضوع در حالیست که با توجه به مطالب عنوان شده توسط بلاک [22] که در مطالعه خود، ریب ها را به عنوان اجزایی مجزا در نظر گرفته و تنها خواص الاستیک استرینگرهای را میانگین گیری نموده است، نایابیاری پنل در استوانه های دارای 7 ریب نیز می تواند همچنان رخ دهد. معیار دیگری که بنابر بیان آمدال [23] جهت اطمینان از مقبولیت کاربرد تکنیک تقویت کننده سربار و حصول نتایج قابل اعتماد از آن، بر مبنای میزان تقویت طولی پوسته توسط استرینگر ارائه گردیده است، برقراری رابطه (3) است:

$$\frac{2\pi R}{N_s t} < 3 \sqrt{\frac{R}{t}} \quad (3)$$

که در آن  $N_s$  تعداد استرینگرهای روی محیط استوانه است.

شایان ذکر است که ساده در نظر گرفتن تکیه گاه ها، مطابق آنچه در استخراج رابطه کمانشی (1) و تعداد قابل توجهی از دیگر روابط تئوری ارائه شده مورد استفاده قرار گرفته است، علیرغم کاستن از دشواری مسئله با توجه به امکان حبس زدن فرم کلی پاسخ جابجایی های ناشی از کمانش، چندان فرض محدود کننده و دور از واقعی نیست، چرا که اگر طول استوانه چندین مرتبه بزرگتر از طول نیم موج طولی بحرانی باشد، شرایط تکیه گاهی انتهای استوانه، تأثیر محسوسی بر بار بحرانی ندارند.

2- STAGS  
3- SIMULPAC  
4- Shell  
5- ANSYS



شکل 2 شمای سیستم تقویت‌کننده

لنچوز<sup>2</sup> به عنوان حلگر مسئله کمانش مقدار ویژه<sup>3</sup> انتخاب گردیده و بنابر مطالب عنوان شده در بخش 2-2 نوع المان‌ها به صورت S4R قرار داده می‌شوند.

در نهایت، تحلیل عددی مسئله برای مقادیری متفاوت از تعداد المان‌ها صورت می‌بینید که پس از حصول همگرایی پاسخ، مقدار MN 7/61 به عنوان بار ناپایداری کلی حاصل می‌گردد. این مقدار 1/02 برابر بار بدست‌آمده از تئوری است.

شمایی از کانتور جابجایی شعاعی متناظر با شکل‌مود ناپایداری کلی در شکل 3 ارائه گردیده است (مقدار ویژه: 790/02). همان‌گونه که مشاهده می‌شود، شکل امواج کمانشی بر نتیجه مورد انتظار گزارش شده توسط تئوری، کاملاً منطبق است (ضریب بزرگنمایی: 150).

لازم به ذکر است که نیروی بحرانی کمانش و کانتور تغییر شکل ارائه شده در شکل 3، بطور کامل بر مقدار بار و فرم کمانشی گزارش شده توسط ویلیامز و استارنس [30] که تحلیل المان محدود خود را توسط نرم‌افزار نترن<sup>4</sup> اجرا نموده‌اند، منطبق است.

#### 4- مطالعه کمانش پوسته‌های تقویت‌شده

دست‌یابی به پاسخ‌های تحلیلی و استخراج روابط محاسبه بار کمانش برای پوسته‌های استوانه‌ای امری بسیار دشوار و بعضًا غیرممکن است. این پیچیدگی‌ها در حضور آثار غیرخطی مادی (نظیر بروز پلاستیسیته) و یا آثار هندسی (نظیر وجود گشودگی در سازه) به مراتب بیشتر می‌گردد. اگر چه یکی از راههای غلبه بر دشواری‌های یادشده، همچنانکه پیش‌تر بیان گردید، کاربرد فرضیاتی است که معادلات حاکم را ساده‌تر و در نتیجه دست‌یابی به پاسخ‌های تحلیلی نظری رابطه (1) را هموارتر می‌سازند، لکن اعمال آن‌ها، همچنین منجر به بروز محدودیت در بکارگیری روابط نیز خواهد گردید.

در بخش حاضر تلاش گردیده است تا با انجام مطالعاتی بر روی مسائل دارای شرایط متفاوت و با بررسی میزان محدودسازی پاسخ به واسطه برخی فرضیات اصلی در نظر گرفته شده در استخراج روابط تئوری، صحت کاربرد روابط در خصوص مسائلی که فرضیات بر آن‌ها حاکم نیست، مورد ارزیابی قرار گیرد.

در تمامی تحلیل‌های انجام گرفته، ابعاد پوسته مورد مطالعه مطابق جدول 2 و جنس ماده سازنده پوسته و المان‌های تقویت‌کننده، آلومینیوم با خواص مکانیکی ذکر شده در بخش 3 قرار داده می‌شود. بارگذاری اعمالی بر سازه مجددًا نیروی فشارنده محوری بوده، لکن شرایط‌مرزی لبه‌ها، یکبار به صورت تکیه‌گاه دو سر ساده، مطابق فرض صورت گرفته در تئوری جهت استخراج روابط تحلیلی و بار دیگر به صورت دو سر گیردار در نظر گرفته می‌شود.

2- Lanczos

3- Buckle

4- NASTRAN

#### 3- مقایسه محاسبات کمانشی تئوری و المان محدود

در این بخش به منظور انجام مقایسه میان نتایج کمانشی حاصل از محاسبات صورت‌گرفته بر مبنای رابطه تئوری (1) با مقادیر حاصل از انجام تحلیل عددی توسط نرم‌افزار المان محدود آباکوس، مدلی از یک پوسته تقویت‌شده توسط ریب‌ها و استرینگرهای خارجی، تحت نیروی فشاری محوری مورد مطالعه قرار می‌گیرد. مشخصات و ابعاد بکار رفته بنابر مقادیر ارائه شده در مرجع [30] مطابق جدول 1 می‌باشد. ماده سازنده پوسته و تقویت‌کننده‌ها، آلومینیوم با مدول الاستیک 68947 MPa و نسبت پواسون 0/3 است.

با کاربرد رابطه (1) و (2) به واسطه اجرای خطوط دستور کد نویسی شده در نرم‌افزار متلب، بارهای کمانش متناظر با وقوع ناپایداری پتل و ناپایداری کلی که مودهای کمانشی مصیبت‌بار در سازه محسوب می‌شوند، محاسبه شده و مقدار کوچک‌تر بین آن دو، به عنوان بار بحرانی در نظر گرفته می‌شود.

بر این اساس و بنابر مشخصات پوسته مورد مطالعه، بار بحرانی به میزان 7/46 MN حاصل می‌گردد که متناظر با مود ناپایداری کلی بوده و در مقادیر m و n به ترتیب برابر 1 و 8 رخ می‌دهد. شمایی از هندسه ریب و استرینگر در شکل 2 ارائه گردیده است. همچنان که در شکل 2 ملاحظه می‌گردد، مقاطع به صورت مستطیل با طولی (امتداد عمود بر سطح پوسته) به ترتیب برابر با 22/9 و 5/7 و عرض یکسان 9/8 میلی‌متر می‌باشد.

لازم به ذکر است که کاربرد رابطه (3) برای پوسته‌ای با مشخصات مطرح شده در جدول 1، نشان‌گر آن است که به منظور اطمینان از صحت نتایج کمانشی تئوری، حداقل تعداد استرینگرهای موجود می‌باشد برابر 52 باشد که این امر موید صحت کاربرد و محاسبات رابطه تئوری (1) برای مسئله مطالعه است.

به منظور انجام تحلیل المان محدود و جهت ایجاد مدل پوسته تقویت‌شده، ابتدا هندسه پوسته (استوانه‌ای به شعاع سطح خارجی پوسته)، یک ریب و یک استرینگر توسط المان‌های پوسته سه‌بعدی تغییر شکل‌پذیر ایجاد می‌گردد. قبل از تخصیص خواص به اجزای ایجادشده، می‌باشد کل سازه تقویت‌شده توسط ایجاد یک الگوی خطی از ریب‌ها و الگوی شعاعی از استرینگرهای و نهایتاً ادغام نمودن مجموعه، به صورت یکپارچه مدل گردد. پس از آن، ضخامت و خواص ماده سازنده هر بخش، اختصاص داده می‌شود.

نحوه بارگذاری به این صورت است که دو بار لبه پوسته‌ای<sup>5</sup> با مقدار واحد در امتداد طولی سازه به صورت فشاری بر روی لبه‌ای پایینی و بالایی آن اعمال می‌گردد. برای مقید نمودن لبه‌های بالایی و پایینی پوسته جهت اعمال شرایط‌مرزی تکیه‌گاه ساده، درجات آزادی انتقال و دوران امتداد شعاعی، انتقال امتداد محیطی و همچنین دوران به حول امتداد طولی بسته و سایر درجات آزادی باز گذاشته می‌شوند. لازم به ذکر است که شرط‌مرزی علاوه بر دو انتهای پوسته می‌باشد لبه‌ای انتهایی استرینگرهای را نیز که در محل تکیه‌گاه‌ها واقع شده‌اند، در بر گیرد.

جدول 1 ابعاد و خواص پوسته و تقویت‌کننده‌ها

عنوان	مدار
تعداد استرینگرهای	126
تعداد ریب‌ها	20
ضخامت پوسته (mm)	2/5
شعاع سطح میانی (mm)	1528/75
طول استوانه (mm)	2390

1- Shell Edge Load

صورت می‌پذیرد که بر اساس آن ابعاد دانه‌بندی مناسب برای پوسته و استرینگ تعیین می‌گردد. نتایج کمانشی حاصل در جدول 3 ارائه شده‌اند. مقادیر بار ارائه شده در جدول 3 را می‌توان در شکل 4، به صورت نمودار مشاهده نمود.

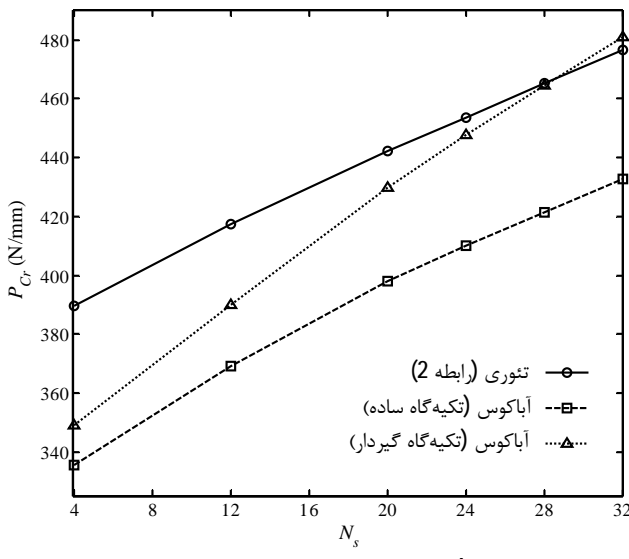
لازم به ذکر است که با توجه به تعاریف ارائه شده برای نایابداری پنل و نایابداری کلی، در خصوص پوسته تقویت شده توسط استرینگ، دو مفهوم اخیر دقیقاً معادل با یکدیگر بوده و لذا تنها بار متناظر با نایابداری کلی محاسبه و برابر بار بحرانی تئوری قرار داده شده است.

درصد تقویت ارائه شده در جدول 3 از نسبت حجم تقویت‌کننده‌ها به حجم کل سازه (پوسته و تقویت‌کننده) حاصل می‌گردد که با توجه به یکی بودن جنس پوسته و سیستم تقویت‌کننده در مطالعه حاضر، برابر با نسبت وزنی اجزا خواهد بود. با جمع‌بندی مطالب عنوان شده در مراجع همچنانکه پیش‌تر نیز بیان گردید، تقویت پوسته‌ای با درصد تقویت کمتر از حدود 20٪ سبک، بین 20٪ تا 35٪ متوسط، بین 35٪ تا 50٪ سنگین و برای مقادیر بزرگتر از 50٪ بسیار سنگین در نظر گرفته می‌شود. مقادیر ارائه شده درون پرانتر معرف ترکیب (m,n) شکل موج کمانشی متناظر بار مربوطه می‌باشند. نسبت بار کمانش حاصل از تحلیل المان محدود به بار تئوری را می‌توان در جدول 4 مشاهده نمود.

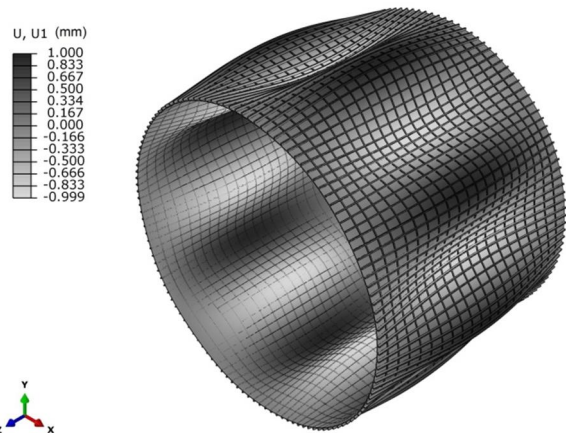
مطابق انتظار و همانطور که از مقایسه نتایج جدول 4 پیداست، با افزایش تعداد استرینگ‌ها و متعاقب آن افزایش درصد تقویت پوسته، از اختلاف میان نتایج تحلیل عددی و رابطه تئوری کاسته خواهد شد.

جدول 3 نتایج محاسبات بار نایابداری کلی تئوری و آباکوس بر واحد طول (N/mm)

استرینگ	تحلیل المان محدود		تعداد	درصد	تقویت	عنوان
	گیردار	ساده				
349/07 (1,4)	335/59 (1,4)	389/51 (2,6)	7/8	4		
390/05 (1,4)	369/03 (1,4)	417/44 (2,6)	20/2	12		
429/75 (1,4)	398/06 (1,4)	442/22 (1,4)	29/7	20		
447/58 (1,4)	409/88 (1,4)	453/74 (1,4)	33/7	24		
464/60 (1,4)	421/48 (1,4)	465/17 (1,4)	37/2	28		
481/17 (1,4)	432/89 (1,4)	476/52 (1,4)	40/4	32		



شکل 4 محاسبات بار کمانش تئوری و المان محدود



شکل 3 کانتور تغییرات مؤلفه شعاعی جایجاوی ناشی از نایابداری کلی

جدول 2 ابعاد و خواص پوسته و تقویت‌کننده‌ها

عنوان
ضخامت پوسته (mm)
شعاع سطح میانی (mm)
طول استوانه (mm)

1- پوسته تقویت شده توسط استرینگ در بخش 2 مشاهده گردید که برای پوسته تقویت شده‌ای که شرایط رابطه (3) و همچنین شرط  $L > 3L$  را دارد، پاسخ کمانشی محاسبه شده بر مبنای رابطه تئوری (1) و نتیجه حاصل از تحلیل المان محدود در توافق بسیار خوبی با یکدیگر می‌باشد. بر این اساس، هدف از مطالعات بخش حاضر بررسی میزان اختلاف پاسخ حاصل از رابطه تئوری با نتایج تحلیل المان محدود در شرایطی است که معیارهای یادشده برقرار نباشند.

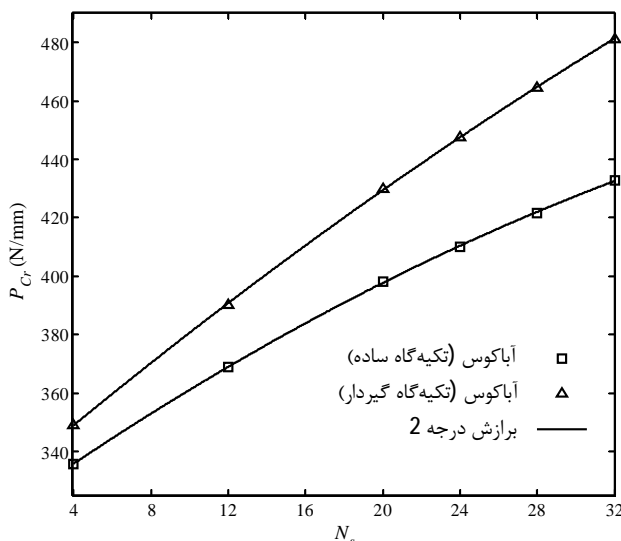
برای این منظور در گام نخست حالتی که در آن پوسته تنها توسط استرینگ‌های داخلی تقویت شده باشد، مورد ارزیابی قرار می‌گیرد. روند مدل‌سازی دقیقاً منطبق بر مسیر یادشده در بخش 3 است. در خصوص اعمال شرایط مرزی سازه دو سر گیردار، می‌باشد درجات آزادی انتقال امتداد شعاعی، محیطی و نیز تمامی درجات آزادی دورانی بسته شوند.

بر اساس ابعاد در نظر گرفته شده برای پوسته و با کاربرد رابطه (3)، حداقل تعداد استرینگ‌های لازم جهت اطمینان از صحت کاربرد تکنیک تقویت‌کننده سربار و در نتیجه درستی محاسبات کمانشی بر مبنای رابطه تئوری (1) برابر 28 (بزرگ‌تر از 27/02) عدد است.

مطابق آنچه در اغلب مطالعات و مسائل عملی کاربردی با آن مواجه هستیم، تعداد استرینگ‌ها می‌باشد، مطابق جدول 3، به صورت اعداد مضرب 4 انتخاب گردند. لازم به ذکر است که با توجه به آنکه بنابر رابطه (3) تنها شعاع سطح میانی، ضخامت پوسته و فاصله استرینگ‌ها از یکدیگر هستند که در صحت کاربرد تئوری تقویت‌کننده سربار حائز اهمیت می‌باشند، لذا بر این اساس و همچنین به منظور جلوگیری از پیچیده‌تر شدن مسئله، مقطع استرینگ‌ها به صورت مستطیل، با طول و عرضی (قسمت متصل به پوسته) به ترتیب برابر با 10 و 5 میلی‌متر در نظر گرفته می‌شود.

به منظور همگرا نمودن نتایج تحلیل، در ابتدا دسته‌ای از تحلیل‌های المان محدود با کوچک‌سازی ابعاد دانه‌بندی<sup>1</sup> جهت تعیین الزامات المان‌بندی متناظر با حصول پاسخ همگرا شده برای پوسته تقویت شده با 4 استرینگ

1- Mesh Refinement



شکل 5 برازش درجه 2 بر محاسبات کمانشی تحلیل المان محدود

جدول 5 نتایج محاسبات بار ناپایداری کلی تئوری و آباکوس بر واحد طول (N/mm)		
نوع شرایط تکیه‌گاهی لبه‌ها	برازش درجه 2	تحلیل المان محدود
ساده	444/20	441/91
گیردار	497/25	496/96

لازم به ذکر است که بنابر بیان بلاک و همکاران [14]، از آنجا که در استخراج رابطه تئوری (1) و روابط مشابه، از تأثیر تغییر شکل‌های قبل از کمانش صرف‌نظر شده و تنها تغییر شکل‌های کوچک در نظر گرفته می‌شوند، لذا افزایش بیش از حد تعداد استرینگرهای سبک، مجدداً سبب بروز خطا در محاسبات تئوری بار کمانش شده و در نتیجه کاربرد رابطه (1) و سایر روابط تئوری استخراج شده بر اساس فرض یادشده را تنها به پوسته‌های دارای میزان تقویت متوجه و سنتین محدود خواهد ساخت.

شمایی از کانتور جابجایی شعاعی ناشی از کمانش، برای حالت پوسته تقویت شده با 36 استرینگر دارای شرایط تکیه‌گاهی ساده، در شکل 6 ارائه گردیده است (مقدار ویژه: 444/20). همانگونه که مشاهده می‌شود تعداد نیم‌موج‌های امتداد طولی و تعداد امواج امتداد محیطی به ترتیب برابر 1 و 4 است که در توافق با نتایج بدست آمده از رابطه تئوری است (ضریب بزرگ‌نمایی: 25).

#### 4-2- پوسته تقویت شده توسط ریب و استرینگر

سینگر و همکاران [31] با انجام مطالعاتی بر روی مسئله کمانش پوسته‌های تقویت شده بیان می‌نمایند که اگر چه تحت نیروی فشاری محوری، استفاده از ریب‌ها بدون کاربرد استرینگر تأثیر تقویت‌کنندگی ناچیزی خواهد داشت، لکن بکارگیری آنها به همراه استرینگر، تأثیر تقویت‌کنندگی بسیار مؤثری داشته و موجب افزایش قابل ملاحظه‌ای در بار کمانش، در مقایسه با حالت استفاده از استرینگر تنها خواهد گردید.

بر این اساس، در مطالعه حاضر حالت پوسته تقویت شده توسط ریب تنها در نظر گرفته نشده و در ادامه، تحلیل المان محدود بخش 1-4 برای پوسته‌های که توسط هر دو دسته ریب‌ها و استرینگرهای داخلی تقویت شده باشد، صورت می‌پذیرد. تعداد ریب‌ها برابر با دو مقدار 3 و 6 انتخاب گردیده و برای هر یک از این حالات تعداد استرینگرها در مقادیر 8، 16، 24، 32 در نظر

جدول 4 نسبت بار حاصل از تحلیل المان محدود به بار محاسبه شده از تئوری

تعداد استرینگر	تکیه‌گاه ساده	تکیه‌گاه گیردار
4	0/862	0/896
12	0/884	0/934
20	0/900	0/972
24	0/903	0/986
28	0/906	0/999
32	0/908	1/001

در خصوص شرایط تکیه‌گاهی گیردار که در عمدۀ مسائل عملی نمود می‌یابد، روند تقریب نتایج تئوری و عددی به گونه‌ای است که با عبور میزان تقویت از محدوده گذار 20% تا 30%، مقادیر بار کمانش قابل قبولی از رابطه تئوری حاصل می‌گردد. در واقع همانطور که در جدول 4 مشاهده می‌شود، بار کمانش تئوری رابطه (1) در محل  $N_s$  (تعداد استرینگرهای) برابر با 28، بر مقدار محاسبه شده از تحلیل المان محدود منطبق شده و پس از آن، از مقدار یادشده (پیش‌بینی آباکوس) کمتر می‌گردد. بر این اساس برای حالت گیردار، کاربرد معیار رابطه (3) به حصول نتایج محافظه کارانه می‌انجامد.

در خصوص حالت تکیه‌گاهی ساده نیز اگر چه مقدار بار کمانش حاصل از کاربرد رابطه تئوری (1)، بیشتر از مقدار بدست آمده از تحلیل عددی صورت‌گرفته توسط نرم‌افزار آباکوس پیش‌بینی می‌گردد، لکن رفتار آن در  $N_s$  برابر با 28 و همچنین پس از آن، به گونه‌ای است که مقادیر یادشده (تئوری و عددی) دارای اختلاف ثابتی با یکدیگر می‌باشند. در واقع چنانچه مقدار (10%) مقدار بار تئوری متناظر با 28 استرینگر را از مقدار بار محاسبات تئوری مربوط به  $N_s$  برابر 28 و همچنین پس از آن بکاهیم، بارهای حاصل بطور کامل بر نتایج تحلیل المان محدود منطبق خواهند گردید. در راستای صحبت‌سنگی ارتباط عنوان شده، کاستن مقدار 43/7 از بار کمانش 487/77 نیوتون بر میلی‌متر ( $m$ ) به ترتیب برابر 1 و 4) متناظر با محاسبات تئوری حالت تقویت پوسته با 36 استرینگر، منجر به حصول مقدار 447/07 خواهد گردید که بطور کامل بر بار کمانش حاصل از تحلیل المان محدود برای سازه یاد شده به میزان 444/20 منطبق است.

مطابق انتظار و بنابر آنچه در سایر مراجع بیان گردیده است، در هر تعداد مشخص از استرینگرهای، بار متناظر با شرایط تکیه‌گاهی گیردار بیشتر از بار مربوط به حالت ساده است. کوچک بودن میزان اختلاف بین مقادیر یادشده را می‌توان ناشی از بزرگی نسبت طول سازه به شعاع آن در مطالعه حاضر و در نتیجه اندک بودن تأثیرات شرایط تکیه‌گاهی دانست.

علاوه بر مقایسه نتایج حاصل از دو رویکرد تئوری و عددی، مطالعه حاضر نشان‌دهنده میزان افزایش بار کمانش سازه تقویت شده در نتیجه افزایش تعداد استرینگ‌ها نیز است. مطابق شکل 5، نحوه تغییرات بار بر حسب تعداد استرینگ برای هر دو حالت تکیه‌گاهی گیردار و ساده، یک منحنی درجه 2 است. این امر امکان پیش‌بینی بار کمانش سازه تقویت شده توسط تعداد دیگری از استرینگ‌ها را، بدون انجام محاسبات و تنها از طریق درون‌بایی و/یا برونوی‌بایی فراهم می‌سازد.

در جدول 5 مقادیر بار کمانش حاصل از برونوی‌بایی منحنی‌های برازش شده مرتبه 2 به همراه بارهای منتج از تحلیل المان محدود متناظر با پوسته تقویت شده توسط 36 استرینگ (درصد تقویت: 43/2%) ارائه گردیده است.

مقایسه مقادیر ارائه شده در جدول 5 با یکدیگر، به روشنی مovid صحت و دقیقیت بالای پیش‌بینی‌های کمانشی توسط برونوی‌بایی برازش درجه 2 است.

جدول 7 بار ناپایداری تیوری و آباکوس (تعداد ریب: 6) بر واحد طول (N/mm)

نئوری	مان محدود	درصد	تعداد	استرینگر
ناپایداری کلی	ناپایداری پنل	(مود بحرانی)	تقویت	
(*) 2062/84 (11,4)	654/94 (1,9)	580/74 (*)	44/7	8
(*) 2549/16 (9,4)	894/57 (1,9)	823/64 (*)	49/4	16
(*) 2847/29 (8,4)	1116 (1,9)	1040/1 (*)	53/4	24
(*) 3072/51 (7,4)	1307 (1,8)	1229/3 (*)	56/8	32
(*) ناپایداری پنل      (**) ناپایداری کلی				

مقادیر بار بحرانی ارائه شده در جدول 7 را می‌توان در شکل 8 مشاهده نمود. بررسی نتایج ارائه شده در جدول 6، جدول 7 و دقت در شکل 8 نشان‌دهنده قربات قابل قبول نتایج نئوری و المان محدود با یکدیگر بوده و مoid مشابه رفتار کمانشی سازه تقویت‌شده توسط ریب و استرینگر با رفتار مطرح شده در خصوص پوسته تقویت‌شده به وسیله استرینگر (با شرایط تکیه‌گاهی ساده) در شکل 4 است. از سوی دیگر همچنانکه در شکل 8 ملاحظه می‌گردد، نتایج نئوری حتی برای حالتی که تعداد استرینگر کمتر از 28 باشد نیز به مقادیر حاصل از تحلیل المان محدود بسیار نزدیک می‌باشند. این مسئله، نشان‌دهنده آن است که چنانچه درصد تقویت سازه بالاتر از حدود 30% باشد، معیار رابطه (3) را در حالت پوسته تقویت‌شده با ریب و استرینگر، می‌توان محافظه کارانه قلمداد نمود.

لازم به ذکر است که مطالعات فوق علاوه بر مقایسه نتایج روابط نئوری با محاسبات عددی المان محدود، نشان‌گر میزان افزایش بار کمانش در نتیجه افزایش تعداد ریب‌ها و استرینگرها نیز است. مطابق انتظار و همانگونه که در شکل 9 که نتایج تحلیل‌های المان محدود را در یک نمودار ارائه کرده است مشاهده می‌گردد، برای هر تعداد مشخص از ریب‌ها، افزایش تعداد استرینگر منجر به افزایش بار کمانش سازه می‌گردد. بطور مشابه برای هر تعداد مشخص از استرینگر، با افزایش تعداد ریب‌ها، بار کمانش افزایش می‌یابد. نکته قابل توجه آن است که با دو برابر شدن تعداد ریب‌ها در یک تعداد مشخص از استرینگرها، بار کمانش افزایش بیشتری نسبت به حالت دو برابر شدن تعداد استرینگرها در یک تعداد ریب مشخص، خواهد داشت. به بیان دیگر در گستره ناپایداری پنل، شبیه منحنی بار - تعداد استرینگر، با افزایش تعداد ریب‌ها بزرگ‌تر شده و این موضوع بدین معناست که افزودن بر تعداد ریب‌ها، تأثیر استرینگ در افزایش استحکام کمانشی را بیش تر خواهد ساخت.

همچنانکه در شکل 9 ملاحظه می‌گردد، تغییرات بار بر حسب تعداد استرینگر برای هر تعداد مشخص از ریب، با مشابهت به رفتار مشاهده شده در

گرفته می‌شوند.

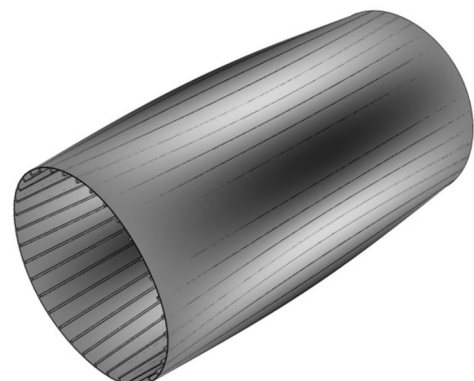
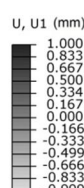
قطع استرینگرها دقیقاً همانند بخش 1-4 انتخاب گردیده و همچنین به منظور جلوگیری از پیچیده شدن مسئله، قطع ریب‌ها نیز نظری استرینگرها، به صورت مستطیل، لکن با طول و عرضی به ترتیب برابر با 20 و 8 میلی‌متر در نظر گرفته می‌شوند.

لازم به ذکر است که با توجه به ابعاد در نظر گرفته شده برای ریب، کاربرد تعداد بیشتری از آن (بزرگ‌تر از 6) سبب سنگین شدن بیش از حد سیستم تقویت‌کننده گردیده و مطابق توضیحات پیشین محاسبات کمانشی رابطه (1) را دچار خطا خواهد ساخت.

روند مدل‌سازی، دقیقاً همانند مرحله اول است که در خصوص پوسته تقویت‌شده توسط استرینگر در بخش 1-4 صورت پذیرفت.

لازم به ذکر است که در تحلیل‌های بخش حاضر شرایط تکیه‌گاهی مطابق فرض بکار رفته در استخراج رابطه نئوری (1)، تنها به صورت تکیه‌گاه ساده در نظر گرفته شده است. همچنین همانگونه که در ابتدای بخش 2 عنوان گردید، از آنجا که وقوع کمانش موضعی پوسته در فواصل بین تقویت‌کننده‌ها، مود فروریزش بحرانی محسوب نمی‌گردد، لذا برای هر هندسه و ساختار از سازه تقویت‌شده، مقادیر دو بار ناپایداری کلی و ناپایداری پنل محاسبه گردیده و در نهایت مقدار کوچکترین آن دو، به عنوان بار بحرانی کمانش در نظر گرفته خواهد شد. نتایج حاصل از تحلیل‌های المان محدود صورت گرفته را می‌توان در جدول 6 و جدول 7 ملاحظه نمود.

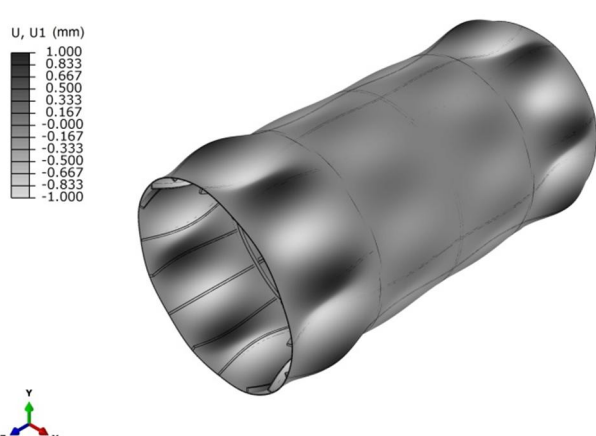
شمای کانتور جابجایی شعاعی ناشی از کمانش، برای پوسته تقویت‌شده توسط 3 ریب و 16 استرینگر، با شرایط تکیه‌گاهی ساده، در شکل 7 ارائه گردیده است (مقدار ویژه: 508/41). همانگونه که مشاهده می‌شود ناپایداری از نوع پنل (کمانش پوسته و استرینگرها با یکدیگر) بین دو ریب مجاور بوده و تعداد نیم‌موج‌های طولی و تعداد امواج محیطی به ترتیب برابر 1 و 8 است که در توافق کامل با نتایج رابطه نئوری است (ضریب بزرگ‌نمایی: 30).



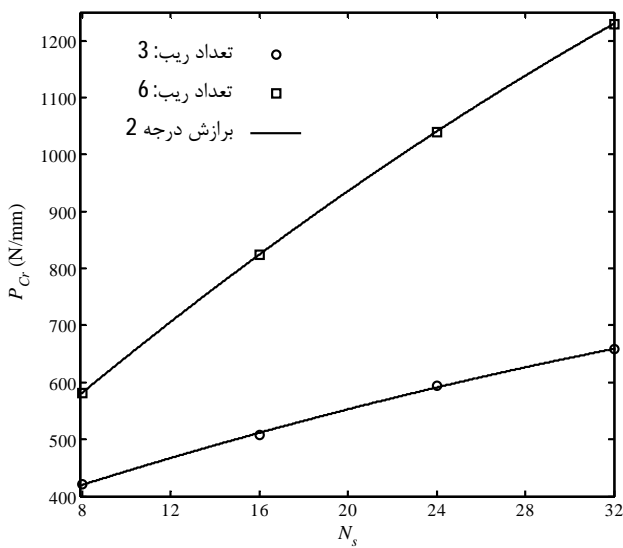
شکل 6 کانتور تغییر مؤلفه شعاعی جابجایی کمانشی (تکیه‌گاه ساده؛ 36 استرینگر)

جدول 6 بار ناپایداری تیوری و آباکوس (تعداد ریب: 3) بر واحد طول (N/mm)

نئوری	مان محدود	درصد	تعداد	استرینگر
ناپایداری کلی	ناپایداری پنل	(مود بحرانی)	تقویت	
(*) 1930/12 (10,4)	459/77 (1,8)	420/61 (*)	32/8	8
(*) 2349/24 (8,4)	542/86 (1,8)	508/41 (*)	39/7	16
(*) 2592/48 (7,4)	614/75 (1,7)	593/67 (*)	45/3	24
(*) 2771/71 (7,4)	678/74 (1,7)	657/80 (*)	49/9	32
(*) ناپایداری پنل      (**) ناپایداری کلی				



شکل 7 کانتور تغییر مؤلفه شعاعی جابجایی کمانشی (3 ریب و 16 استرینگر)



شکل 9 برازش درجه 2 بر محاسبات کمانشی تحلیل المان محدود

این اساس طراح قادر خواهد بود تا با در اختیار داشتن تعدادی محدود از مقادیر کمانشی سازه در تناظر با چند حالت تقویتی مشخص، باز کمانش سایر حالات را بدون انجام تحلیل‌های مجرّأ و صرف زمان اضافی، تنها بر اساس روابط فی‌مابین میزان تقویت و باز کمانش سازه (تفییرات باز کمانش بر حسب تعداد استرینگر)، با دقیقی قابل قبول درون‌بایی یا برونوی‌بایی نماید.

علاوه بر این نتایج نشان داد که دو برابر کردن تعداد ریب‌ها در یک تعداد مشخص از استرینگرها، افزایش باز کمانش بیشتری را نسبت به حالت دو برابر شدن تعداد استرینگرها در یک تعداد ریب مشخص، به دنبال داشته و به عبارتی افزودن بر تعداد ریب‌ها، در گستره نایابی‌اری پل، با افزایش در شب منحنی باز-تعداد استرینگر، تأثیر استرینگرها در افزایش استحکام کمانشی را بیشتر خواهد ساخت.

## 6- مراجع

- [1] Y. Xiang, C. M. Wang, C. W. Lim, S. Kitipornchai, Buckling of Intermediate Ring Supported Cylindrical Shells Under Axial Compression, *Thin-Walled Structures*, Vol. 43, pp. 427-443, 2005.
- [2] P. K. Das, A. Thavalangam, Y. Bai, Buckling and Ultimate Strength Criteria of Stiffened Shells Under Combined Loading for Reliability Analysis, *Thin-Walled Structures*, Vol. 41, pp. 69-88, 2003.
- [3] J. N. Reddy, J. H. Starnes, General Buckling of Stiffened Circular Cylindrical Shells According to A Layerwise Theory, *Computers & Structures*, Vol. 49, No. 4, pp. 605-616, 1993.
- [4] W. Chen, W. M. Ren, W. Zhang, Buckling Analysis of Ring-Stiffened Cylindrical Shells with Cutout by Mixed Method of Finite Strip and Finite Element, *Computers & Structures*, Vol. 53, No. 4, pp. 811-816, 1994.
- [5] J. M. Hedgepath, D. B. Hall, Stability of Stiffened Cylinders, *American Institute of Aeronautics and Astronautics*, Vol. 3, pp. 2275-2286, 1965.
- [6] H. Allen, P. Bulson, *Background to Buckling*, London, McGraw-Hill, 1980.
- [7] G. W. Smith, E. E. Spier, E. A. Muscha, The Stability of Eccentrically Stiffened Circular Cylinders; Vol. IV: General Instability of Cylinders Having Longitudinal and Circumferential Stiffeners; Axial Compression, *Convair Division of General Dynamics*, California, Report NO. GDC DDG 67-006, 1967.
- [8] E. Ventsel, T. Krauthammer, *Thin Plates and Shells: Theory, Analysis, and Applications*, New York, CRC Press, 2001.
- [9] S. P. Timoshenko, J. M. Gere, *Theory of Elastic Stability*, New York, McGraw-Hill, 1961.
- [10] A. N. Palazotto, Bifurcation and Collapse Analysis of Stringer and Ring-Stringer Stiffened Cylindrical Shells with Cutouts, *Computers & Structures*, Vol. 7, pp. 47-58, 1977.
- [11] D. L. Block, *Minimum Weight Design of Axially Compressed Ring and Stringer Stiffened Cylindrical Shells*, Langley Research Center, NASA CR 1766, 1971.
- [12] G. W. Smith, E. E. Spier, The Stability of Eccentrically Stiffened Circular Cylinders; Vol. V: Effects of Initial Imperfections; Axial Compression and Pure Bending, *Convair Division of General Dynamics*, California, Report NO. GDC DDG 67-006, 1967.

شکل 5، مجدداً یک منحنی درجه 2 بوده و بر این اساس امکان پیش‌بینی باز کمانش متناظر با کاربرد سایر تعداد از استرینگرها (در یک تعداد مشخص از ریب) را، بدون انجام محاسبات و تنها از طریق درون‌بایی و/یا برونوی‌بایی فراهم می‌سازد.

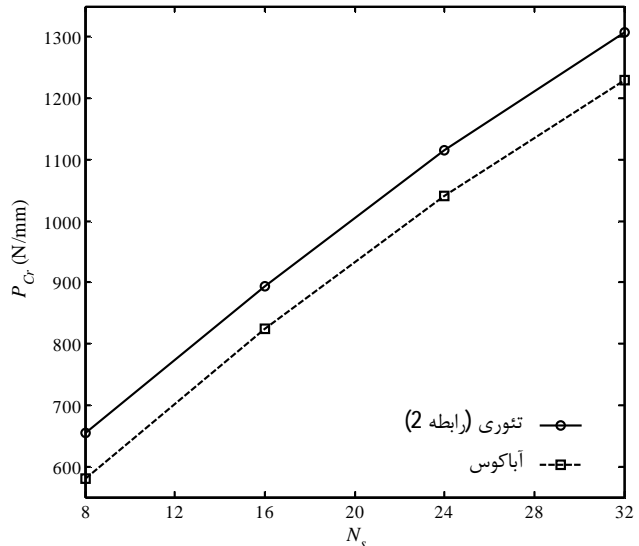
لازم به ذکر است که مقدار عرض از مبدأ هر یک از منحنی‌ها، متناظر با مقدار باری است که به ازای تقویت سازه توسط همان تعداد از ریب بدون استرینگر، حاصل خواهد گردید.

## 5- جمع‌بندی و نتیجه‌گیری

در مقاله حاضر آثار کمانشی ناشی از افزودن تقویت‌کننده‌ها بنابر دو رویکرد تحلیلی و عددی بررسی شده و میزان اختلاف نتایج تحلیل کمانشی تحلیل‌های المان محدود با مقادیر حاصل از یکی از جامع‌ترین روابط تئوری، برای تقویت پوسته با استرینگر و نیز سازه تقویت‌شده با ریب و استرینگر با یکدیگر مقایسه گردید. همچنین دقت معیارهای ارائه شده جهت اطمینان از صحت کاربرد رابطه تئوری مطالعه شده و این نتیجه حاصل گردید که مشروط بر بالاتر بودن درصد تقویت سازه از 20٪، کاربرد رابطه تئوری در محاسبه بار و تعیین شکل مود کمانشی دارای دقت قابل قبولی بوده و از سوی دیگر با عبور درصد تقویت از حدود 30٪، کاربرد معیار رابطه (3) محافظه‌کارانه خواهد بود. بطور مشخص در خصوص شرایط تکیه‌گاهی گیردار مشاهده گردید که باز کمانش تئوری برای حالت تقویت توسط تعداد استرینگرهای محاسبه شده از رابطه (3)، بر مقدار حاصل از تحلیل المان محدود منطبق شده و پس از آن، از پیش‌بینی آباکوس کمتر و به حصول نتایج محافظه‌کارانه خواهد انجامید.

برای حالت تکیه‌گاهی ساده نیز اگر چه مقدار باز کمانش رابطه تئوری، بیش‌تر از مقدار حاصل از تحلیل عددی پیش‌بینی می‌گردد، لکن رفتار آن به گونه‌ای است که مقادیر یادشده دارای اختلاف ثابتی با یکدیگر می‌باشند. بر این اساس کافیست که مقدار اختلاف از مقادیر باز محاسبات تئوری کاسته شود تا بازه‌ای منطبق بر نتایج تحلیل المان محدود حاصل گردد.

در ادامه تناظر میان مقادیر بازه‌ای کمانش حاصل از کاربرد روش المان محدود با میزان تقویت سازه بررسی شده و ملاحظه گردید که برای هر دو حالت تکیه‌گاهی ساده و گیردار، تغییرات باز کمانش بر حسب تعداد استرینگ (در هر تعداد مشخص از ریب) به صورت منحنی درجه 2 است. بر



شکل 8 محاسبات باز کمانش تئوری و المان محدود (تعداد ریب‌ها: 6 عدد)

- [23] J. Amdahl, TMR4205 Buckling and Ultimate Strength of Marine Structures, Ch. 5: *Buckling of Cylindrical Shells*, Marine Technology Society, MTS 2010.01.11, 2010.
- [24] N. F. Knight, C. C. Rankin, *STAGS Example Problems Manual*, Langley Research Center, NASA CR 2006-214281, 2006.
- [25] T. Möcker, P. Linde, S. Kraschin, F. Goetz, J. Marsolek, W. Wohlers, *Abaqus FEM Analysis of The Post Buckling Behaviour of Composite Shell Structures*, Hamburg, Airbus Deutschland, 2008.
- [26] M. Shariati, M. Sedighi, J. Saemi, H. R. Allahbakhsh, A Numerical and Experimental Study on Buckling of Cylindrical Panels Subjected to Compressive Axial Load, *Mechanical Engineering*, Vol. 1, pp. 609-618, 2010.
- [27] G.H. Rahimi, M. Zandi, S.F. Rasouli, Analysis of The Effect of Stiffener Profile on Buckling Strength in Composite Isogrid Stiffened Shell Under Axial Loading, *Aerospace Science and Technology*, Vol. 24, pp. 198-203, 2013.
- [28] S. Kidane, *Buckling Analysis of Grid Stiffened Composite Structures*, Thesis for Degree of Master of Science, Graduate Faculty of the Louisiana State University, 2002.
- [29] R. Degenhardt, H. Klein, A. Kling, H. Temmen, R. Zimmermann, *Buckling and Postbuckling Analysis of Shells Under Quasi Static and Dynamic Loads*, DLR Institute of Structural Mechanics, 2002.
- [30] J. G. Williams, J. H. Starnes, *Some Applications of NASTRAN to the Buckling of Thin Cylindrical Shells with Cutouts*, Langley Research Center, NASA, 1972.
- [31] J. Singer, M. Baruch, O. Harari, On The Stability of Eccentrically Stiffened Cylindrical Shells Under Axial Compression, *Solids and Structures*, Vol. 3, pp. 445-470, 1967.
- [13] J. A. McElman, M. M. Mikulas, M. Stein, *Static and Dynamic Effects of Eccentric Stiffening of Plates and Cylindrical Shells*, Langley Research Center, NASA TMX 56438, 1965.
- [14] D. L. Block, M. F. Card, M. M. Mikulas, *Buckling of Eccentrically Stiffened Orthotropic Cylinders*, Langley Research Center, NASA TN D-2960, 1965.
- [15] J. P. Peterson, *Buckling of Stiffened Cylinders in Axial Compression and Bending: a Review of Test Data*, Langley Research Center, NASA TN D-556, 1969.
- [16] M. Sadeghifar, M. Bagheri, A. A. Jafari, Multiobjective Optimization of Orthogonally Stiffened Cylindrical Shells For Minimum Weight and Maximum Axial Buckling Load, *Thin-Walled Structures*, Vol. 48, pp. 979-988, 2010.
- [17] M. M. Najafizadeh, A. Hasani, P. Khazaeinejad, Mechanical Stability of Functionally Graded Stiffened Cylindrical Shells, *Applied Mathematical Modelling*, Vol. 33, pp. 1151-1157, 2009.
- [18] J. Jachimowicz, *Selected Problems Concerning The Analysis of Thin-walled Structures with The Use of Finite Element Method*, 2008.
- [19] G. W. Smith, E. E. Spier, The Stability of Eccentrically Stiffened Circular Cylinders; Vol. I: General, *Convair Division of General Dynamics*, California, Report NO. GDC DDG 67-006, 1967.
- [20] J. N. Reddy, J. H. Starnes, General Buckling of Stiffened Circular Cylindrical Shells According to A Layerwise Theory, *Computers & Structures*, Vol. 49, No. 4, pp. 605-616, 1993.
- [21] L. Katz, *Compression Tests on Integrally Stiffened Cylinders*, George C. Marshall Space Flight Center, NASA TMX 53315, 1965.
- [22] D. L. Block, *Influence of Discrete Ring Stiffeners and Prebuckling Deformations on The Buckling of Eccentrically Stiffened Orthotropic Cylinders*, Langley Research Center, NASA TN D-4283, 1968.